

Τηλεπικοινωνιακά Συστήματα 1: Πρώτη Εργασία

Εμμανουήλ-Θωμάς Χατζάκης:2021030061

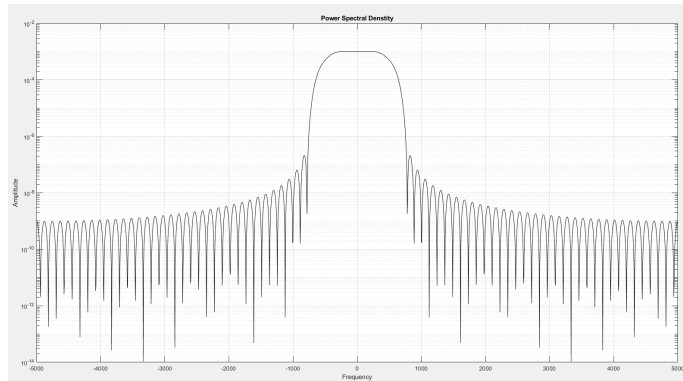
Μάιος 2024

1 Ερώτημα Α

Α. Στο πρώτο μέρος της άσκησης, το οποίο είναι, κυρίως, πειραματικό, θα μελετήσουμε το φασματικό περιεχόμενο PAM κυματομορφών βασικής ζώνης.

A.1 Να δημιουργήσετε παλμό SRRC $\phi(t)$ με τιμές $T = 10^{-3}sec$, $over = 10$, $Ts = \frac{T}{over}$, $A = 4$ και $a = 0.5$.

(10) Μέσω των συναρτήσεων `fftshift` και `fft`, να υπολογίσετε το μέτρο του μετασχηματισμού Fourier της $\phi(t)$, $|\Phi(F)|$, σε Nf ισαπέχοντα σημεία στο διάστημα



Σχήμα 1: Power Spectral Density

```

%A1
T= 10^(-3);
over = 10;
Ts = T/over;
A=4;
a=0.5;

[phi,t] = srirc_pulse(T,over,A,a);

Nf=2048;
Fs = 1/Ts;
f_axis = linspace(-1/2,1/2-Fs/Nf,Nf);
F_axis = Fs*f_axis;

PHI = fftshift(fft(phi,Nf))*Ts;
XF_abs = abs(PHI);
PHI_psd = XF_abs.^2;

figure;
semilogy(F_axis,PHI_psd,'k');
grid on;
title("Power Spectral Denstity");
xlabel('Frequency');
ylabel('Amplitude');

```

Σχήμα 2: Κώδικας A1

A.2 Να δημιουργήσετε ακολουθία $N = 100$ ανεξάρτητων και ισοπίθανων bits b_0, \dots, b_{N-1} . Χρησιμοποιώντας απεικόνιση:

$$0 \rightarrow +1$$

$$1 \rightarrow -1$$

να απεικονίσετε τα bits σε σύμβολα X_n , για $n = 0, \dots, N - 1$

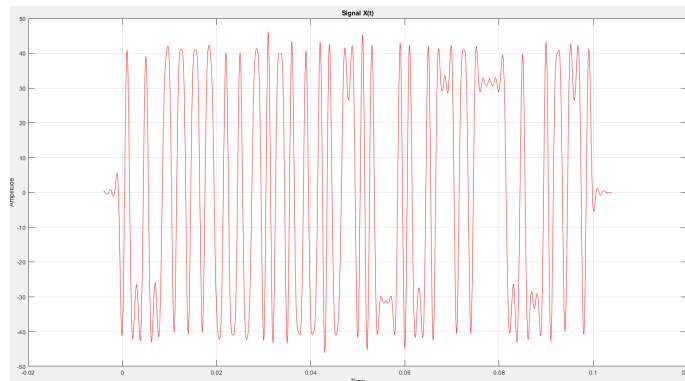
```

function [b] =bits_to_2pam(b)
    for i=1:length(b)
        if b(i)==0
            b(i)=1;
        elseif b(i)==1
            b(i)=-1;
        end
    end
end

```

Σχήμα 3: Bits to 2PAM

Να κατασκευάσετε την κυματομορφή $\sum_{k=0}^{N-1} X_n \cdot \phi(t - nT)$ υποθέτοντας ότι το πλήθος των συμβόλων είναι άπειρο, αποδείξαμε ότι η φασματική πυκνότητα ισχύος της $X(t)$ είναι $S_X(F) = \frac{\sigma_x^2}{T} \cdot |\Phi(F)|^2$



Σχήμα 4: Signal X(t)

```

%A2
N=100;

b= (sign(randn(1,N))+1)/2;
X = bits_to_2pam(b);

figure;
stem(X);
grid on;
title("Bits to 2PAM");
xlabel('Time');
ylabel('Amplitude');

X_delta = 1/Ts*upsample(X, over);
t_delta = [0:Ts:(N*T)-Ts];

X_t = conv(X_delta,phi)*Ts;
t_conv = t(1)+t_delta(1):Ts:t(end)+t_delta(end);

figure;
plot(t_conv,X_t,'r');
grid on;
title("Signal X(t)");
xlabel('Time');
ylabel('Amplitude');

S_x = (var(X)/T)*PHI_psd;

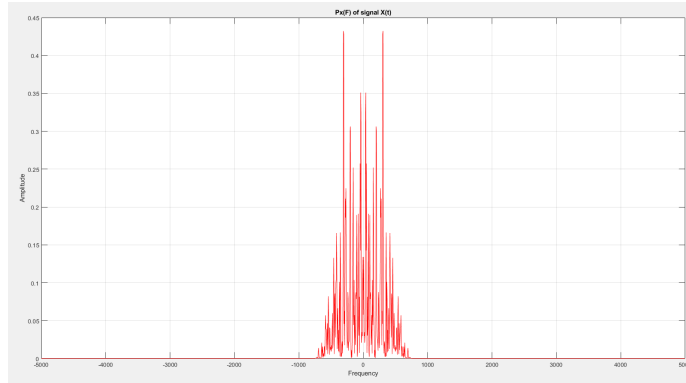
```

Σχήμα 5: κώδικας A2

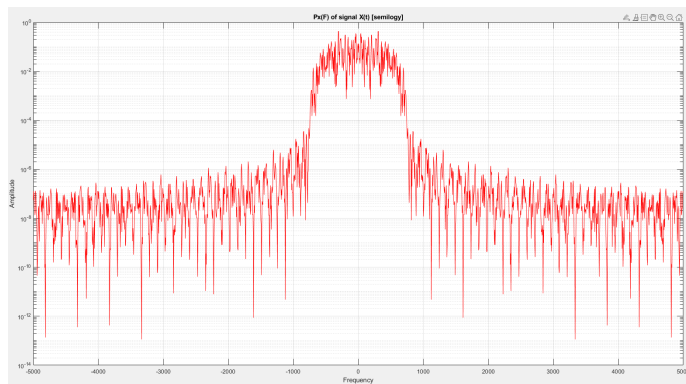
A.3(10) Με χρήση των συναρτήσεων `fftshift` και `fft` να υπολογίσετε το περιοδόγραμμα μίας υλοποίησης της $X(t)$

$$P_X(F) = \frac{|\mathcal{F}[X(t)]|^2}{T_{total}}$$

όπου T_{total} είναι ο συνολικός χρόνος διάρκειας της $X(t)$ σε sec. Να σχεδιάσετε το $P_X(F)$ με χρήση `plot` και `semilogy`.



Σχήμα 6: $P_X(F)$



Σχήμα 7: $P_X(F)$ with semilogy

```

%A3
X_F = fftshift(fft(X_t,Nf))*Ts;
XF_abs = abs(X_F);
XF_psd = XF_abs.^2;

T_total = max(t_conv)- min(t_conv)+1;

Px_F = XF_psd/T_total;

figure;
plot(F_axis,Px_F,'r');
grid on;
title("Px(F) of signal X(t)");
xlabel('Frequency');
ylabel('Amplitude');

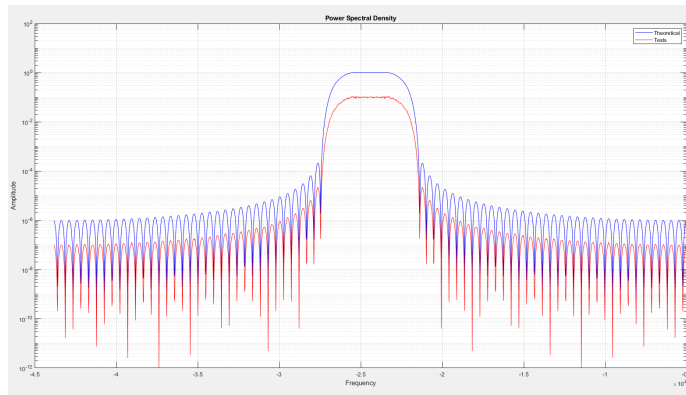
figure;
semilogy(F_axis,Px_F,'r');
grid on;
title("Px(F) of signal X(t) [semilogy]");
xlabel('Frequency');
ylabel('Amplitude');

```

Σχήμα 8: Κώδικας A3

Να επαναλάβετε για διάφορες υλοποιήσεις της ακολουθίας bits $b_0, \dots, b_N - 1$, ώστε να αποκτήσετε μία καλή εικόνα σχετικά με το πώς μοιάζει το περιοδόγραμμα υλοποιήσεων της $X(t)$.

(10) Να εκτιμήσετε τη φασματική πυκνότητα ισχύος υπολογίζοντας αριθμητικές μέσες τιμές πάνω σε K (ενδεικτικά, $K = 500$) υλοποιήσεις περιοδογραμμάτων. Να σχεδιάσετε σε κοινό semilogy την εκτίμηση και τη θεωρητική φασματική πυκνότητα ισχύος.



Σχήμα 9: Εκτίμηση και Θεωρητική φασματική πυκνότητα ισχύος

(10) Όσο αυξάνετε το K και το N , θα πρέπει η προσέγγιση να γίνεται καλύτερη. Συμβαίνει αυτό στα πειράματά σας; Αν ναι, μπορείτε να εξηγήσετε το φαινόμενο;

Για τον έλεγχο της προσέγγισης δοκιμάστηκαν διάφορες τιμές για το K και το N ($K=1000, 10000$ και $N=1000, 10000, 100000$). Παρατηρείται όσο αυτά αυξάνονταν η προσέγγιση γινόταν όλο και καλύτερη. Αυτό συμβαίνει διότι μεγαλύτερο K σημαίνει περισσότερες υλοποιήσεις της στοχαστικής διαδικασίας οπότε καλύτερη προσέγγιση της μέσης τιμής και μεγαλύτερο N σημαίνει παραγωγή περισσότερων συμβόλων οπότε περισσότερη πληροφορία για τη στοχαστική διαδικασία.

```

k=500;

X_tests = zeros(k,Nf);
for i=1:k
    b_test= (sign(randn(1,N))+1)/2;
    X_test = bits_to_2pam(b_test);
    X_delta_test = 1/Ts*upsample(X_test, over);
    X_t_test = conv(X_delta_test,phi)*Ts;
    X_F_test = fftshift(fft(X_t_test,Nf))*Ts;
    XF_abs_test = abs(X_F_test);
    XF_psd_test = XF_abs_test.^2;
    X_tests(i,:)=XF_psd_test;
end

Sx_tests = mean(X_tests);

figure;
semilogy(F_axis,S_x,'b');
hold on;

semilogy(F_axis,Sx_tests,'r');
hold off;
grid on;
title("Power Spectral Density");
xlabel('Frequency');
ylabel('Amplitude');
legend("Theoretical","Tests");

```

Σχήμα 10: Κώδικας A3

A.4 Χρησιμοποιώντας την απεικόνιση

$$00 \rightarrow +3$$

$$01 \rightarrow +1$$

$$11 \rightarrow -1$$

$$10 \rightarrow -3$$

να κατασκευάσετε την ακολουθία 4PAM X_n , $n = 0, \dots, \frac{N}{2} - 1$. Παρατηρήστε ότι, αν τα bits είναι ισοπίθανα, τότε και τα σύμβολα X_n είναι ισοπίθανα!


```

function X =bits_to_4pam(b1,b2)
N=100;
for i=1:N/2
    if (b1(i)==0 & b2(i)==0)
        X(i)=3;
    elseif (b1(i)==0 & b2(i)==1)
        X(i)=1;
    elseif (b1(i)==1 & b2(i)==1)
        X(i)=-1;
    else
        X(i)=-3;
    end
end
end

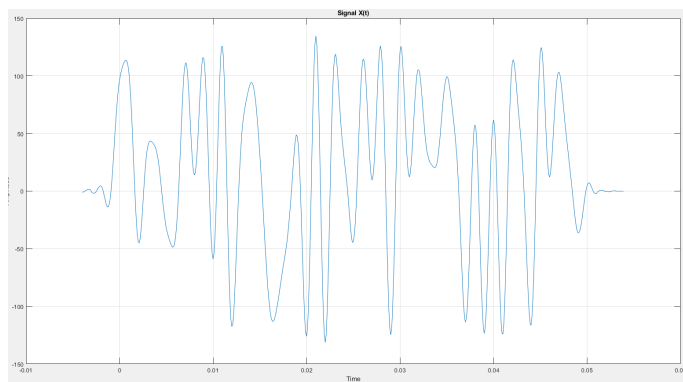
```

Σχήμα 11: Bits to 4PAM

Να κατασκευάσετε την κυματομορφή

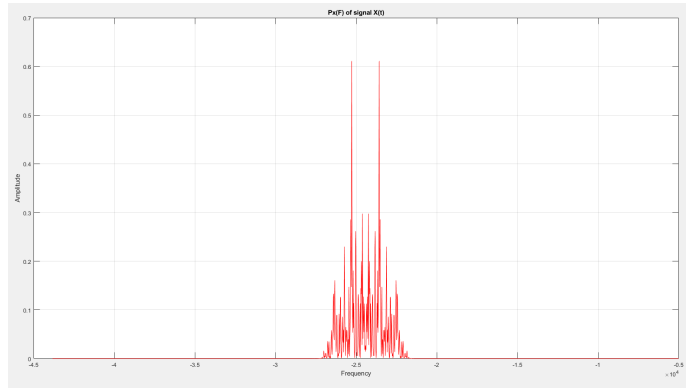
$$X(t) = \sum_{k=0}^{\frac{N}{2}-1} X_n \cdot \phi(t - nT)$$

χρησιμοποιώντας την ίδια περίοδο T με το ερώτημα Α.2

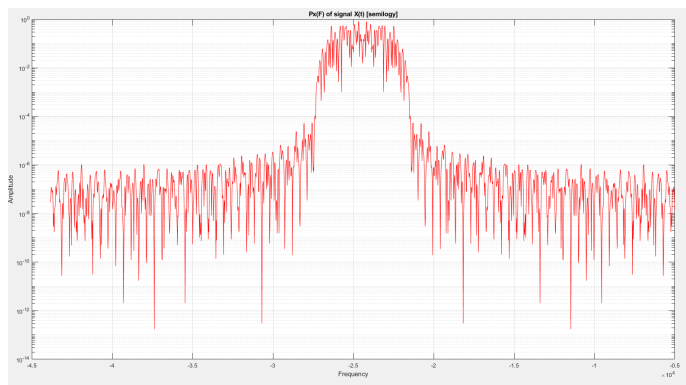


Σχήμα 12: Signal $X(t)$

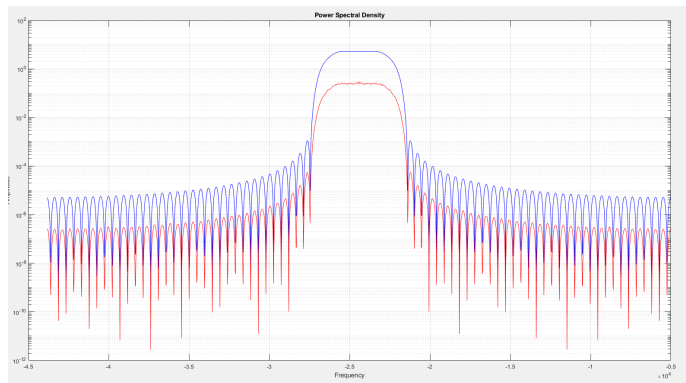
(10) Να υπολογίσετε το περιόδωγραμμα και να εκτιμήσετε τη φασματική πυκνότητα ισχύος μέσω αριθμητικών μέσων τιμών υλοποιήσεων περιοδογραμμάτων της $X(t)$. Να σχεδιάσετε την πειραματική και την θεωρητική φασματική πυκνότητα ισχύος στο ίδιο semilogy.



Σχήμα 13: $P_X(F)$

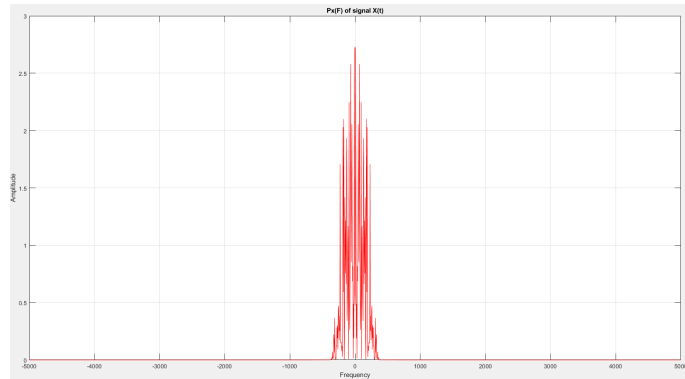


Σχήμα 14: $P_X(F)$ with semilogy

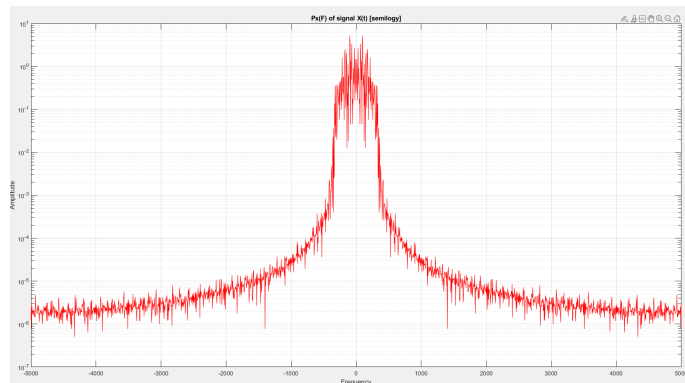


Σχήμα 15: Εκτίμηση και Θεωρητική φασματική πυκνότητα ισχύος

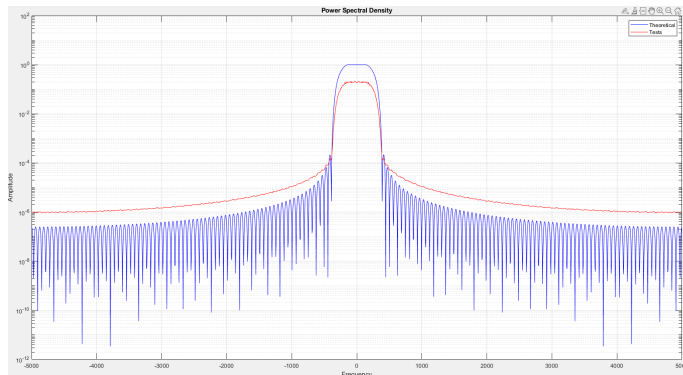
A.5 (10) Να επαναλάβετε το βήμα A.3, θέτοντας περίοδο συμβόλου $T' = 2T$ (να διατηρήσετε την περίοδο δειγματοληψίας T_s ίση με αυτή των προηγούμενων βημάτων, άρα, θα πρέπει να διπλασιάσετε την παράμετρο *over*).



Σχήμα 16: $P_X(F)$



Σχήμα 17: $P_X(F)$ with semilogy



Σχήμα 18: Εκτίμηση και Θεωρητική φασματική πυκνότητα ισχύος

(5) Τι παρατηρείτε σχετικά με το εύρος φάσματος των κυματομορφών σε αυτή την περίπτωση σε σχέση με αυτό των κυματομορφών του βήματος A.3; Μπορείτε να εξηγήσετε το φαινόμενο;

Παρατηρείται ότι το εύρος φάσματος έχει υποδιπλασιαστεί που είναι αναμενόμενο αφού διπλασιάστηκε η περίοδος που είναι αντιστρόφως ανάλογη της συχνότητας.

A.6 (2.5) Αν θέλατε να στείλετε δεδομένα όσο το δυνατό ταχύτερα έχοντας διαθέσιμο το ίδιο εύρος φάσματος, θα επιλέγατε 2-PAM ή 4-PAM, και γιατί;

Θα γινόταν επιλογή συστήματος 4-PAM διότι κάθε σύμβολο μεταφέρει 2 bits πληροφορίας

(2.5) Αν το διαθέσιμο εύρος φάσματος είναι πολύ ακριβό, θα επιλέγατε περίοδο συμβόλου T ή $T' = 2T$, και γιατί;

Σε αυτή τη περίπτωση θα προτιμηθεί περίοδος συμβόλου $T' = 2T$ διότι το εύρος φάσματος θα υποδιπλασιαστεί και επομένως το κόστος θα μειωθεί.

2 Ερώτημα Β

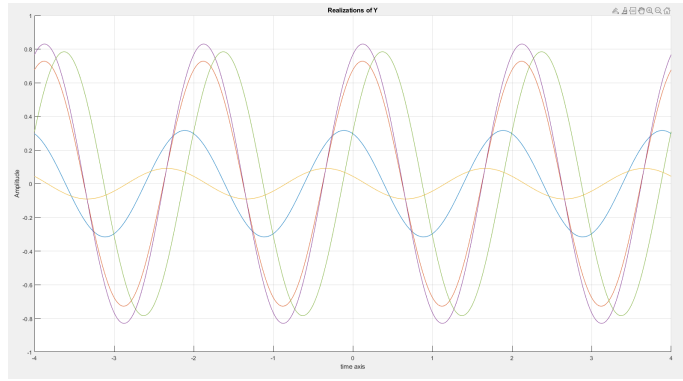
Στο δεύτερο μέρος της άσκησης, το οποίο είναι, κυρίως, θεωρητικό, θα μελετήσουμε απλές στοχαστικές διαδικασίες.

Εστω

$$Y(t) = X \cos(2\pi F_0 t + \Phi)$$

όπου $X \sim \mathcal{N}(0, 1)$, $\Phi \sim [0, 2\pi)$ και X, Φ ανεξάρτητες τυχαίες μεταβλητές.

1. (5) Να σχεδιάσετε σε κοινό plot 5 υλοποιήσεις της.



Σχήμα 19: Πέντε υλοποιήσεις της Y

2. (10) Να υπολογίσετε τις ποσότητες $E[Y(t)]$ και $R_{YY}(t+\tau, t) = E[(Y(t+\tau)Y(t))]$. Τι διαπιστώνετε;

$$E[Y(t)] = E[X \cos(2\pi F_0 t + \Phi)] = E[X]E[\cos(2\pi F_0 t + \Phi)] = 0$$

διότι X, Φ ανεξάρτητες τυχαίες μεταβλητές και $m_x = 0$.

$$\begin{aligned} R_{YY}(t+\tau, t) &= E[(Y(t+\tau)Y(t))] = E[X^2 \cos(2\pi F_0(t+\tau) + \Phi) \cos(2\pi F_0(t) + \Phi)] \\ &= E[\frac{1}{2} \cos(2\pi F_0(t + \tau - t))] E[\frac{1}{2} \cos(2\pi F_0(t + \tau + t) + 2\Phi)] = \\ &= E[\frac{1}{2} \cos(2\pi F_0(t + \tau - t))] = \frac{1}{2} \cos(2\pi F_0 \tau) \end{aligned}$$

Παρατηρείται ότι η R_{YY} εξαρτάται μόνο από το τ όποτε είναι στάσιμη υπό την ευρεία έννοια.

3.(5) Να υπολογίσετε τη φασματική πυκνότητα ισχύος, $S_Y(F)$.

$$S_Y(F) = \mathcal{F}\{R_Y(\tau)\} = \mathcal{F}\{\frac{1}{2} \cos(2\pi F_0 \tau)\} = \frac{1}{4}(\delta(F - F_0) + \delta(F + F_0))$$